



**Physik der  
Kondensierten Materie 2**

**Rudolf Gross**

**SS 2021**

**Teil 15**

**Vorlesungsstunde: 04.05.2021-1**

## • Ferroelektrizität

- spontane Polarisation  $P_S$  ohne  $E_{\text{ext}}$  unterhalb Curie-Temperatur  $T_C$ :  $T < T_C$ : pyro-/ferroelektrisch  
 $T > T_C$ : para-/dielektrisch
- Klassifizierung: (i) **pyroelektrisch**: endliches  $P_S$ , kann nicht durch  $E_{\text{ext}}$  umgeschaltet werden  
 (ii) **ferroelektrisch**: endliches  $P_S$ , kann durch  $E_{\text{ext}}$  umgeschaltet werden  
 (iii) **piezoelektrisch**:  $P_S = 0$ , endliches  $P_S$  kann durch externe Kraftwirkung erzeugt werden
- spontane Polarisation  $P_S$  tritt nur dann auf, wenn Kristallstruktur **eine polare Achse** besitzt (fehlende Inversionsymmetrie)
- Thermodynamik  $\mathcal{F} = U - TS$  mit  $dU = TdS - pdV - VP_S \cdot dE_{\text{ext}}$  folgt:  $d\mathcal{F} = -SdT - pdV - VP_S \cdot dE_{\text{ext}}$

➤ für isotherm-isochoren Prozess  
 $dT = 0, \quad dV = 0$

$$P_{s,i} = -\frac{1}{V} \left( \frac{\partial \mathcal{F}}{\partial E_{\text{ext},i}} \right)_{V,T}$$

$$\chi_{ij} = \frac{1}{\epsilon_0} \left( \frac{\partial P_{s,i}}{\partial E_{\text{ext},j}} \right)_{V,T} = -\frac{1}{\epsilon_0 V} \left( \frac{\partial^2 \mathcal{F}}{\partial E_{\text{ext},i} \partial E_{\text{ext},j}} \right)_{V,T}$$

## • Landau Theorie der Phasenübergänge

- Übergang paraelektrisch-ferroelektrisch kann als Phasenübergang betrachtet werden, wobei  $P_S$  der OP ist
- Entwicklung der freien Energiedichte in Potenzreihe des OP
- Gleichgewichtszustand ist durch Minimum von  $f$  gegeben:

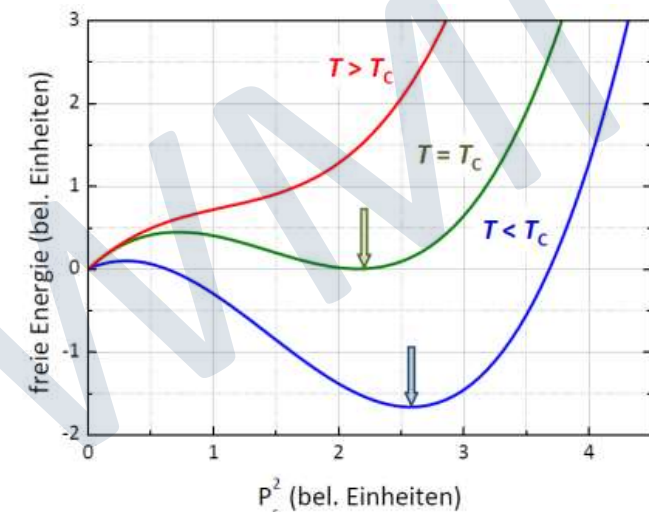
$$\mathcal{F}(P_S, T)/V = a_0 + \frac{1}{2} a_2 P_S^2 + \frac{1}{4} a_4 P_S^4 + \frac{1}{6} a_6 P_S^6 + \dots$$

$$\frac{1}{V} \frac{\partial \mathcal{F}(P_S, T)}{\partial P_S} \Big|_{T, E_{\text{ext}}} = 0 = a_2 P_S + a_4 P_S^3 + a_6 P_S^5 + \dots$$

**PÜ 1. Ordnung:**  $\gamma(T - T_C) + a_4 P_S^2 + a_6 P_S^4 = 0$   $a_4 < 0, a_6 > 0$

$$a_2 = \gamma(T - T_C) \text{ mit } \gamma > 0$$

**PÜ 2. Ordnung:**  $|P_S| = \sqrt{\gamma/a_4} \sqrt{T_C - T}$   $a_4 > 0, a_6 \text{ vernachlässigt}$



## • Klassifizierung von Ferroelektrika

### - **Ordnungs-Unordnung-Systeme:**

ungeordnete elektrische Dipole in paraelektrischer Phase  $\rightarrow$  Ordnung der Dipole für  $T < T_c$   
z.B. Protonenpositionen in H-Brückenbindung (KDP)

### - **displazive Systeme:**

keine elektrischen Dipolmomente für  $T > T_c$ , Einfrieren von TO-Gitterschwingungen für  $T < T_c$   
 $\rightarrow$  weiche TO Phononen,  $\omega_T \rightarrow 0$  für  $T \rightarrow T_c$ , z.B. BaTiO<sub>3</sub>

$$\epsilon(T) = \frac{1 + \frac{2}{3} \sum_i n_{V,i} \alpha_i}{1 - \frac{1}{3} \sum_i n_{V,i} \alpha_i} \propto \frac{1}{T - \Theta} \quad \text{Curie-Weiss-Gesetz}$$

$$\omega_T^2(T) \propto \epsilon_{\text{stat}} \omega_L^2(T - \Theta) \quad \omega_T \rightarrow 0 \text{ für } T \rightarrow \Theta$$

## • ferroelektrische Domänen

- Minimierung von Energiebeiträgen durch Anisotropien, Streufelder, etc. durch Domänenbildung

## • Piezoelektrizität

- Erzeugung einer elektrischen Polarisation  $\mathbf{P}_\sigma$  durch mechanische Spannung  $\sigma$

$$\mathbf{P}_\sigma = d \cdot \sigma$$

$d$  = Tensor des piezoelektrischen Effekts,  
 $\sigma$  = mechanische Spannung

- Erzeugung einer mechanischen Dehnung  $\mathbf{e}$  durch Anlegen eines elektrischen Feldes  $\mathbf{E}_{\text{ext}}$

$$\mathbf{e} = d^t \cdot \mathbf{E}_{\text{ext}}$$

$d^t$  = Tensor des inversen piezoelektrischen Effekts,  $e$  = Dehnung



# Kapitel 12

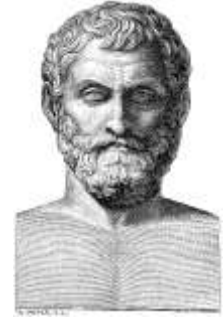
## Magnetismus

WMM

- Geschichtliches

- Thales von Milet (6. Jh vor Christus):

**Magnetit, Kraftwirkung auf Eisen**



- China (4. Jh nach Christus):

**Kompass,**

allg. Verwendung nach etwa 1200



- William Gilbert:

Beginn der modernen Forschung,

1600: Veröffentlichung des Werk „**de Magnete**“,

→ Funktion des Kompass hängt mit Erdmagnetismus zusammen

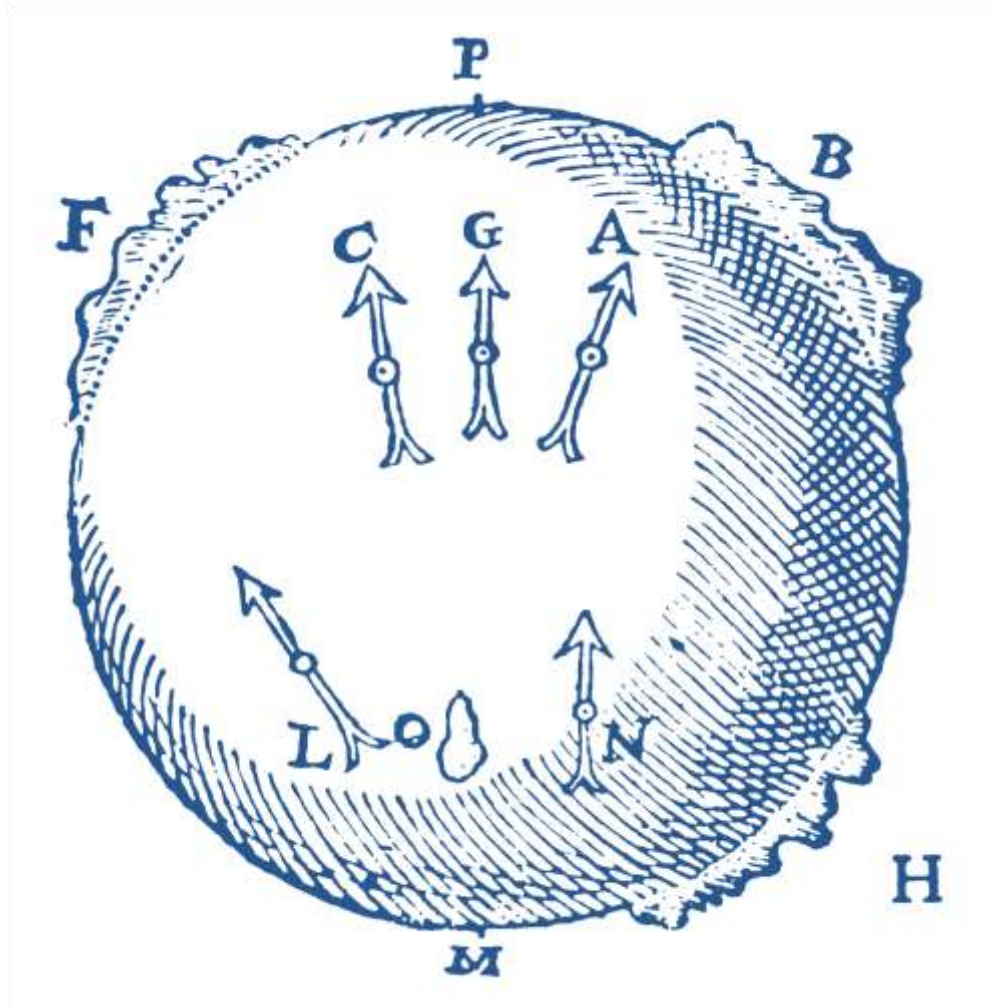


- Andre-Marie Ampere (um 1800):

magnetische Felder resultieren aus sich bewegenden elektrischen Ladungen



- Geschichtliches



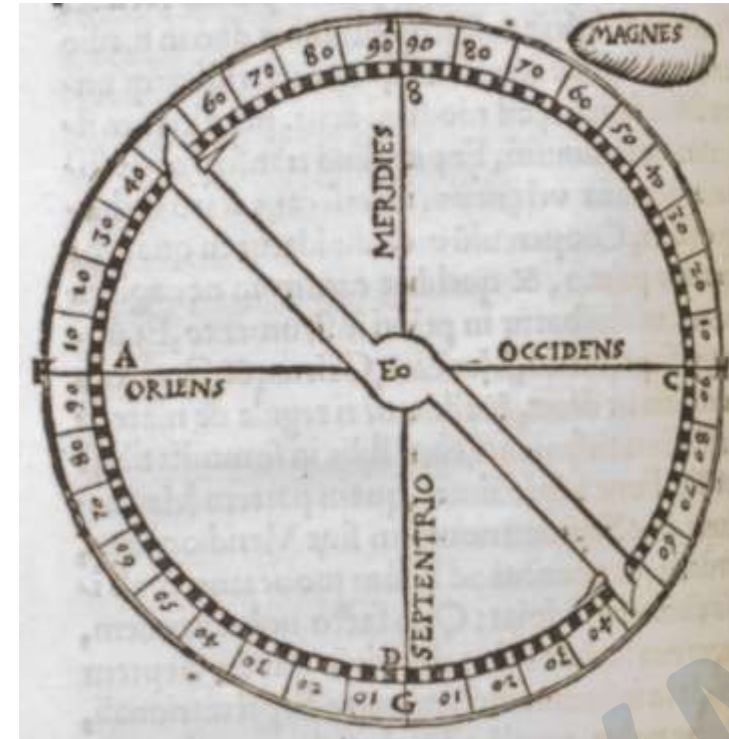
William Gilbert (1544 – 1603)

# 12 Magnetismus

- Geschichtliches



Model of a Han Dynasty (206 BC–220 AD) south-indicating ladle or *sinan*



Pivoting compass needle in a 14<sup>th</sup> century copy of *Epistola de magnete* of Peter Peregrinus (1269)

- Mystik, Esoterik, Scharlatanerie, ....



## Mesmerization

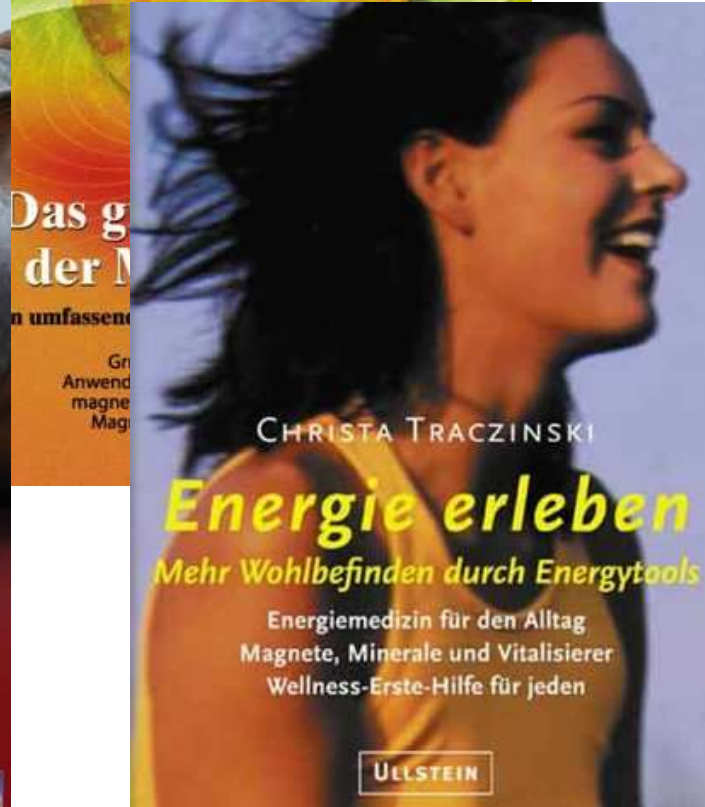
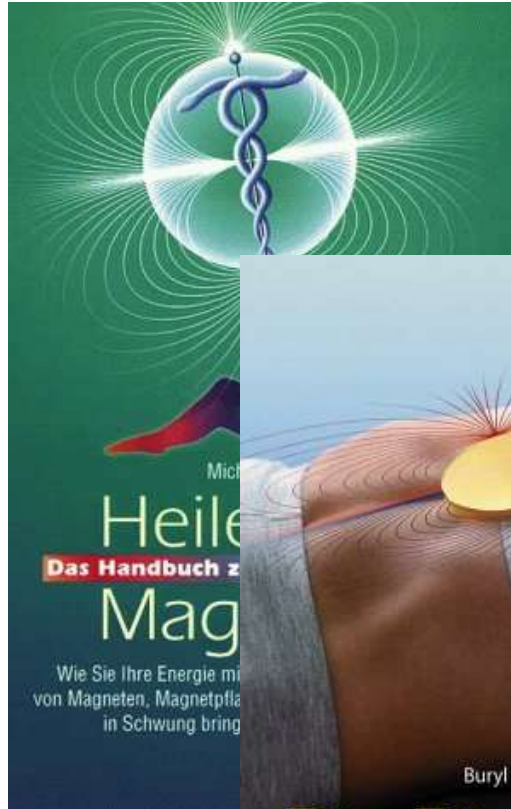
*to be mesmerized literally means to undergo the treatment of **Franz Mesmer**, to be "magnetized".*

In 1774 he used a magnet to produce an "artificial tide" in a patient. Mesmer had her swallow a preparation containing iron, and then attached magnets to various parts of her body. She reported feeling streams of a mysterious fluid running through her body and was relieved of her symptoms for several hours. Mesmer did not believe that the magnets had achieved the cure on their own. He felt that he had contributed **animal magnetism**, which had accumulated in his own body, to her. He soon stopped using magnets as a part of his treatment.



# 12 Magnetismus

- Mystik, Esoterik, Scharlatanerie, ....



- **Grundlegende Frage: Wie verhalten sich FK bei Störung durch elektromagnetische Felder**
    - **Kapitel 9:** Bewegung *einzelner* Elektronen in Festkörper aufgrund von äußeren Kräften durch  $E$ - und  $B$ -Feld  
 → Dynamik der Kristallelektronen
    - **Kapitel 11+12:** Reaktion des Festkörpers *insgesamt* auf Störung durch  $E$ - und  $B$ -Felder
      - *insgesamt* bedeutet: wir betrachten FK als Kontinuum und beschreiben seine Antwort auf eine Störung durch eine Materialkonstante  $\chi(\omega, q)$  → *verallgemeinerte Suszeptibilität*
      - wir beschränken uns meistens auf den Fall der *linearen Antwort (linear response)* bei kleinen Störungen
    - **Beschreibung der Wechselwirkung eines Festkörpers mit einem elektromagnetischen Feld:**
      - **mikroskopisch:** z.B. Änderung elektronischer Niveaus, Absorption von einzelem Photon, Erzeugung von FK-Anregungen, ...
      - **makroskopisch:** basierend auf Maxwell-Gleichungen, FK-Reaktion steckt in makroskopischer Materialkonstante (elektrische oder magnetische Suszeptibilität)
- Zentrale Frage:** *Wie hängen makroskopische Materialkonstanten mit den mikroskopischen FK-Eigenschaften zusammen?*

- Grundlegender Unterschied bei Beschreibung von dielektrischen und magnetischen Eigenschaften
  - Phänomen Magnetismus kann nicht klassisch erklärt werden → **Magnetismus ist Quantenphänomen**

- Bohr-van Leeuwen Theorem (in Doktorarbeiten 1911 und 1919)

“**Nettomagnetisierung von Ensemble aus Elektronen kann nicht klassisch erklärt werden**”

- **Bohr-van Leeuwen Theorem:** heuristische Betrachtung

- Magnetisierung ist proportional zur Änderung der freien Energiedichte eines Systems im Magnetfeld:  $M = -\frac{1}{V} \frac{\partial \mathcal{F}}{\partial B_{\text{ext}}}$
- Lorentz-Kraft auf bewegte Ladung steht senkrecht zur Bewegungsrichtung  
→ Richtungsänderungen aber keine Änderung des Geschwindigkeitsbetrags d.h. der kinetischen Energie

- **Bohr-van Leeuwen Theorem:** Herleitung

- es gilt:  $M = -\frac{1}{V} \frac{\partial \mathcal{F}}{\partial B_{\text{ext}}}$  und  $\frac{\mathcal{F}}{V} = -\frac{N}{V} k_B T \ln Z$  ( $Z =$  Zustandssumme)
- Zustandssumme  $Z$  eines Systems aus  $N$  ununterscheidbaren Teilchen ist unabhängig von Vektorpotenzial  $\mathbf{A}$ :

$$Z = \frac{1}{h^{3N} N!} \int_{\mathbb{R}^{3N}} d^{3N} p \int_{V^N} d^{3N} r \exp[-\beta \mathcal{H}(\underbrace{\{\mathbf{p}_i - q\mathbf{A}(\mathbf{r}_i)\}}_{\mathbf{p}'_i}, \mathbf{r}_i)] = \frac{1}{h^{3N} N!} \int_{\mathbb{R}^{3N}} d^{3N} p' \int_{V^N} d^{3N} r \exp[-\beta \mathcal{H}(\mathbf{p}'_i, \mathbf{r}_i)]$$

# 12.1 Makroskopische Elektrodynamik

- **Beschreibung der Reaktion eines Festkörpers auf Magnetfeld im Rahmen der Kontinuumstheorie**
  - völlig analoge Beschreibung von magnetischen und elektrischen Phänomenen
  - externes Magnetfeld  $\mathbf{H}_{\text{ext}}$  (Störung) ruft im Festkörper Magnetisierung  $\mathbf{M}$  (Antwort) hervor

$$M_i(\mathbf{r}', t') = \sum_j \int \chi_{ij}(\mathbf{r}, t, \mathbf{r}', t') H_{\text{ext},j}(\mathbf{r}, t) d^3r dt$$

(Faltungsintegral)

$i$ -te Komponente von  $M$

Tensor der

$j$ -te Komponente von  $H_{\text{ext}}$

**magnetischen Suszeptibilität**

$\chi_{ij}(\mathbf{r}, t, \mathbf{r}', t') \rightarrow \chi_{ij}(\mathbf{r} - \mathbf{r}', t - t')$  falls Raum und Zeit homogen sind

**Faltungssatz:** die Fourier-Transformierte der Faltung zweier Funktionen ist gleich dem Produkt der FT der beiden Funktionen

$$M_i(\mathbf{q}, \omega) = \sum_j \chi_{ij}(\mathbf{q}, \omega) H_{\text{ext},j}(\mathbf{q}, \omega) \quad (\mathbf{q}, \omega)\text{-Raum}$$

- **Magnetische Flussdichte** (es gilt:  $\mathbf{B}(\mathbf{r}, t) = \mu_0 \mathbf{H}_{\text{ext}}(\mathbf{r}, t) + \mu_0 \mathbf{M}(\mathbf{r}, t) = \mu_0 [\mathbf{H}_{\text{ext}}(\mathbf{r}, t) + \chi(\mathbf{r}, t) \mathbf{H}_{\text{ext}}(\mathbf{r}, t)] = \mu_0 [\mathbf{1} + \chi(\mathbf{r}, t)] \mathbf{H}_{\text{ext}}(\mathbf{r}, t)$ )

$$B_i(\mathbf{q}, \omega) = \mu_0 \sum_j \mu_{ij}(\mathbf{q}, \omega) H_{\text{ext},j}(\mathbf{q}, \omega)$$

**magnetische Permeabilität**

$$\mu_{ij}(\mathbf{q}, \omega) = 1 + \chi_{ij}(\mathbf{q}, \omega)$$

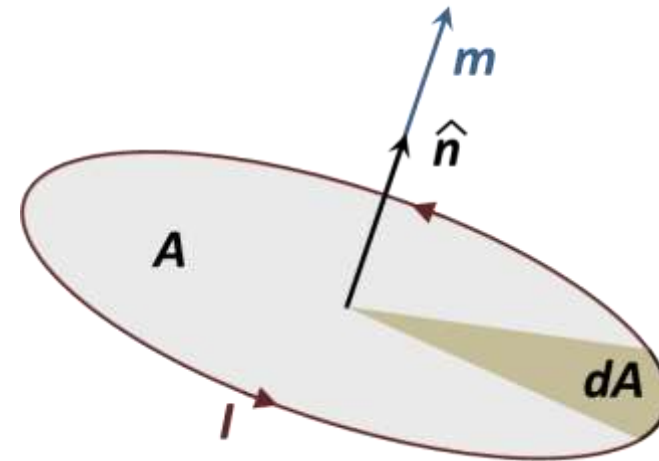
# 12.1 Makroskopische Elektrodynamik

- Magnetisches Moment und Magnetisierung

- klassischer Ausdruck für magnetisches Moment

$$\mathbf{m} = I \oint d\mathbf{A} = I \cdot A \hat{\mathbf{n}} \quad (\text{für ebene Bahnfläche})$$

allgemein gilt:  $\mathbf{m} = \frac{1}{2} \int \mathbf{r} \times \mathbf{J}(\mathbf{r}) d^3r = \frac{1}{2} \int \mathbf{r} \times I d\mathbf{l} = I \int d\mathbf{A} = \mathbf{m}$



- Bahnmoment von Elektron (klassisch)

es gilt:  $I = -e/T$  und  $T = 2\pi r/v$ , Bahndrehimpuls:  $\mathbf{L} = \mathbf{r} \times \mathbf{p} = \mathbf{r} \times m\mathbf{v} = rmv \hat{\mathbf{n}}$

$$\boldsymbol{\mu}_L = I \cdot A \hat{\mathbf{n}} = -\frac{e}{T} \cdot \pi r^2 \hat{\mathbf{n}} = -\frac{ev}{2\pi r} \cdot \pi r^2 \hat{\mathbf{n}} = -\frac{e\hbar}{2m} \frac{rmv}{\hbar} \hat{\mathbf{n}} = -\frac{e\hbar}{2m} \frac{\mathbf{r} \times \mathbf{p}}{\hbar} = -\mu_B \frac{\mathbf{L}}{\hbar}$$

### Bohrsches Magneton

$$\mu_B = \frac{e\hbar}{2m} = 9.274\,009\,994(57) \times 10^{-24} \text{ J/T} = 5.788\,381\,8012(26) \times 10^{-5} \text{ eV/T}$$

→ typische Größe von atomaren magnetischen Momenten

- gyromagnetisches Verhältnis

$$\gamma = \frac{|\boldsymbol{\mu}_L|}{|\mathbf{L}|}$$

Proportionalitätsfaktor zwischen Drehimpuls und dem zugehörigen magnetischen Moment

# 12.1 Makroskopische Elektrodynamik

- Gegenüberstellung von magnetischen und elektrischen Größen

$$* M_i(\mathbf{r}', t') = \sum_j \int \chi_{ij}(\mathbf{r}, t, \mathbf{r}', t') H_{\text{ext},j}(\mathbf{r}, t) d^3r dt$$

Magnetisierung:  $\mathbf{M} = \frac{\mathbf{m}}{V}$

magnetisches Moment:

$$\mathbf{m} = \sum_i \boldsymbol{\mu}_i = \sum_i \frac{q_i \hbar}{2m} \frac{\mathbf{r}_i \times \mathbf{p}_i}{\hbar} = \sum_i g_i \mu_B \frac{\mathbf{L}_i}{\hbar}$$

**Bohrsches Magneton**

$$\mu_B = \frac{e \hbar}{2m} = 9.274\,008\,99(37) \times 10^{-24} \text{ J/T}$$

$$P_i(\mathbf{r}', t') = \epsilon_0 \sum_j \int \chi_{ij}(\mathbf{r}, t, \mathbf{r}', t') E_{\text{ext},j}(\mathbf{r}, t) d^3r dt$$

Polarisation:  $\mathbf{P} = \frac{\mathbf{p}_{\text{el}}}{V}$

elektrisches Moment:

$$\mathbf{p}_{\text{el}} = \sum_i \mathbf{p}_{\text{el},i} = \sum_i q_i \mathbf{r}_i$$

\*besser wäre Verwendung von magnetischer Polarisation  $\mu_0 \mathbf{M}$  mit Einheit Vs/m<sup>2</sup> analog zur elektrischen Polarisation  $\mathbf{P}$  mit Einheit As/m<sup>2</sup>

# 12.1 Makroskopische Elektrodynamik

- Gegenüberstellung von magnetischen und elektrischen Größen

## Magnetisierung:

$$M_i(\mathbf{r}', t') = \sum_j \int \chi_{ij}(\mathbf{r}, t, \mathbf{r}', t') H_{\text{ext},j}(\mathbf{r}, t) d^3r dt$$

$$*M_i(\mathbf{q}, \omega) = \sum_j \chi_{ij}(\mathbf{q}, \omega) H_{\text{ext},j}(\mathbf{q}, \omega)$$

## Magnetische Flussdichte:

$$\mathbf{B}(\mathbf{r}, t) = \mu_0 \mathbf{H}_{\text{ext}}(\mathbf{r}, t) + \mu_0 \mathbf{M}(\mathbf{r}, t)$$

$$B_i(\mathbf{q}, \omega) = \mu_0 \sum_j \mu_{ij}(\mathbf{q}, \omega) H_{\text{ext},j}(\mathbf{q}, \omega)$$

$$\mu_0 = 4\pi \times 10^{-7} \text{ Vs/Am}$$

## Magnetische Permeabilität:

$$\mu_{ij}(\mathbf{q}, \omega) = 1 + \chi_{ij}(\mathbf{q}, \omega)$$

## Polarisation:

$$P_i(\mathbf{r}', t') = \epsilon_0 \sum_j \int \chi_{ij}(\mathbf{r}, t, \mathbf{r}', t') E_{\text{ext},j}(\mathbf{r}, t) d^3r dt$$

$$P_i(\mathbf{q}, \omega) = \epsilon_0 \sum_j \chi_{ij}(\mathbf{q}, \omega) E_{\text{ext},j}(\mathbf{q}, \omega)$$

## Elektrische Flussdichte:

$$\mathbf{D}(\mathbf{r}, t) = \epsilon_0 \mathbf{E}(\mathbf{r}, t) + \mathbf{P}(\mathbf{r}, t)$$

$$D_i(\mathbf{q}, \omega) = \epsilon_0 \sum_j \epsilon_{ij}(\mathbf{q}, \omega) E_j(\mathbf{q}, \omega)$$

$$\epsilon_0 = 8.854 187 187 \times 10^{-12} \text{ As/Vm}$$

## Dielektrische Funktion:

$$\epsilon_{ij}(\mathbf{q}, \omega) = 1 + \chi_{ij}(\mathbf{q}, \omega)$$

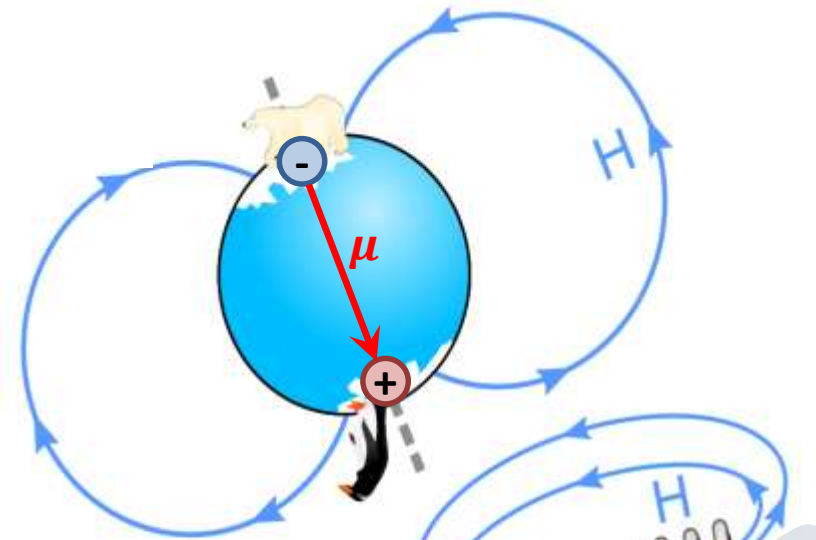
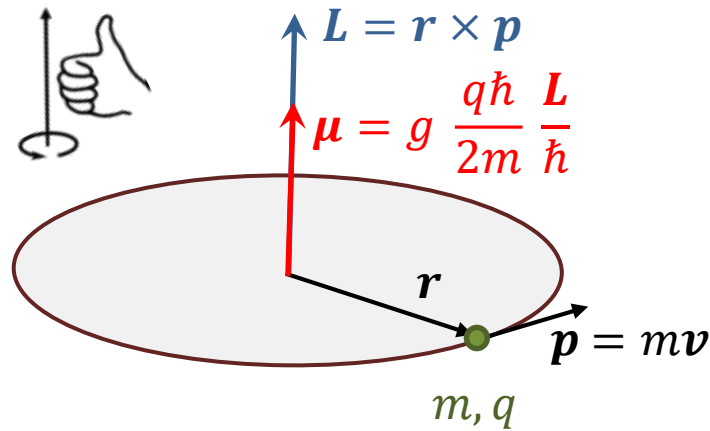
\*besser wäre Verwendung von magnetischer Polarisation  $\mu_0 M$  mit Einheit Vs/m<sup>2</sup> analog zur elektrischen Polarisation  $P$  mit Einheit As/m<sup>2</sup>

# 12.1 Makroskopische Elektrodynamik

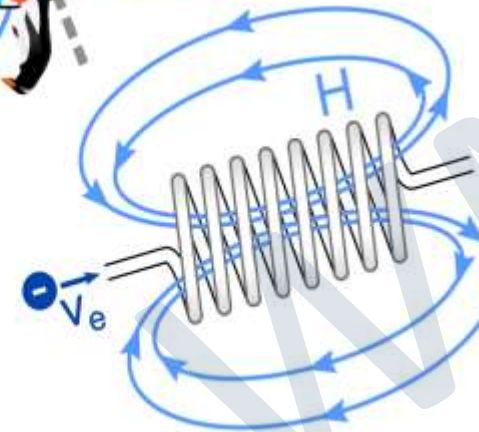
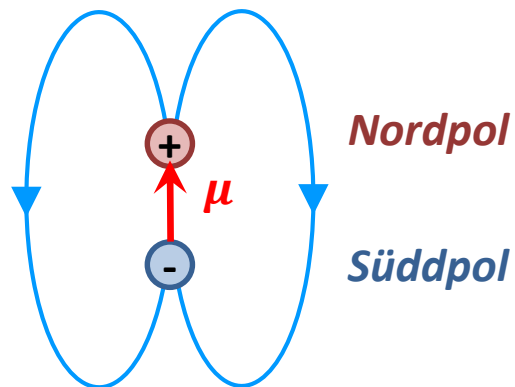
- Richtung von Drehimpuls, magnetischem Moment, Magnetfeld

- Drehimpuls und magnetisches Moment*

- geografischer Nordpol ist magnetischer Südpol*



- Analogie zu elektrischer Polarisation*



- rechte Hand-Regel gilt für technische Stromrichtung*



# 12.1.2 Magnetische Feldstärke und Flussdichte

- Unterscheidung zwischen  $H$ - und  $B$ -Feld

## $H$ -Feld

### Bezeichnung:

magnetische Feldstärke oder Magnetisierungskraft  
(Stromdichte  $\cdot$  Länge:  $A/m$ )

### Quellen:

externe elektrische Stromdichte  $J_q$ , z.B. in  
elektrischem Leiter von Spule

$$\nabla \times \mathbf{H} = \mathbf{J}_q$$

### im Festkörper:

$$\nabla \times \mathbf{B} = \mu_0(\mathbf{J}_q + \mathbf{J}_M) = \mu_0[\nabla \times \mathbf{H} + \nabla \times \mathbf{M}] \Rightarrow$$

$$\mathbf{H} = \frac{\mathbf{B}}{\mu_0} - \mathbf{M}$$

### im Festkörper nicht quellenfrei:

$$\nabla \cdot \mathbf{H} = -\nabla \cdot \mathbf{M} \neq 0$$

Diskontinuität des  $H$ -Feldes an Oberfläche von magnetisiertem FK  
ist mit Schicht von Quellen und Senken des  $H$ -Feldes verknüpft:  
"magnetische Ladungen"

## $B$ -Feld

### Bezeichnung:

magnetische Flussdichte (Fluss/Fläche:  $Vs/m^2$ )

### Quellen:

gesamte Stromdichte  $J = J_q + J_M$ ,  $J_q$  = externe  
Stromdichte,  $J_M$  = interne, mit Magnetisierung  
verknüpfte mikroskopische Stromdichte

$$\nabla \times \mathbf{B} = \mu_0 \mathbf{J} = \mu_0(\mathbf{J}_q + \mathbf{J}_M)$$

### im Festkörper:

$$\nabla \times \mathbf{B} = \mu_0(\mathbf{J}_q + \mathbf{J}_M) = \mu_0(\nabla \times \mathbf{H} + \nabla \times \mathbf{M}) \Rightarrow$$

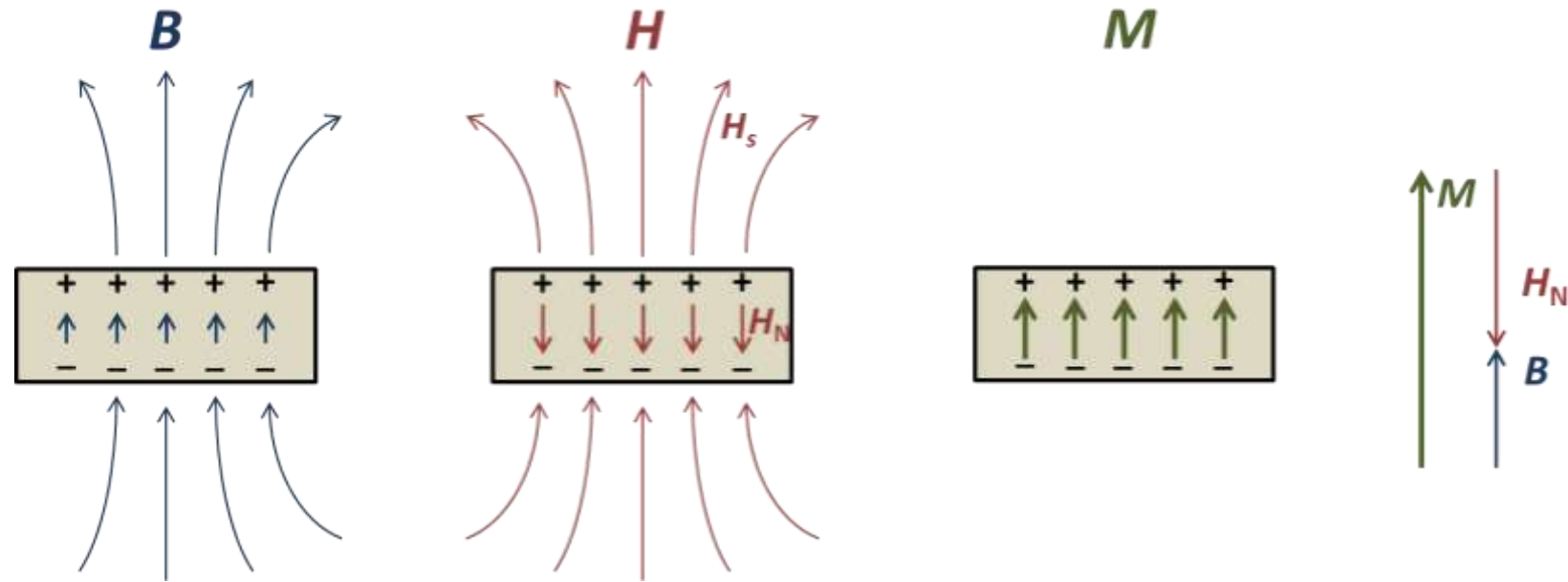
$$\mathbf{B} = \mu_0(\mathbf{H} + \mathbf{M})$$

### immer quellenfrei:

$$\nabla \cdot \mathbf{B} = 0$$

# 12.1.3 Entmagnetisierungs- und Streufelder

- Wir betrachten Entmagnetisierungs- und Streufelder von magnetisierter Scheibe ( $H_{\text{ext}} = 0$ )



- innerhalb von FK:  $B = \mu_0 M + \mu_0 H_N$        $H_N = \frac{B}{\mu_0} - M = -NM$        $M \neq 0$        $N = \text{Entmagnetisierungsfaktor}$
- außerhalb von FK:  $B = \mu_0 H_S$        $H_S$        $M = 0$        $H_N = \text{Entmagnetisierungsfeld}$   
 $H_S = \text{Streufeld}$

➤ geschlossener Pfad entlang von Feldlinien:  $\oint \mathbf{H} \cdot d\mathbf{s} = 0 \rightarrow H_N$  ist antiparallel zu  $M$  ("Ent"-Magnetisierungsfeld)

# 12.1.4 Lokales magnetisches Feld

- Analog zu dielektrischen Festkörpern:

Wie sieht der Zusammenhang zwischen dem von außen wirkenden Feld  $H_{\text{mak}}$  und dem lokal wirkenden Feld  $H_{\text{lok}}$  aus?

**makroskopisches Feld  $\Leftrightarrow$  mikroskopisches Feld**

- für  $H_{\text{lok}}$  gilt in Analogie zu lokalem elektrischen Feld folgende Beziehung:

$$\mathbf{H}_{\text{lok}} = \mathbf{H}_{\text{mak}} + \mathbf{H}_L = \mathbf{H}_{\text{ext}} + \mathbf{H}_N + \mathbf{H}_L = \mathbf{H}_{\text{ext}} - N \mathbf{M} + \mathbf{M}/3$$

erzeugt durch externe Ströme

Lorentz-Feld

erzeugt durch magnetische  
Oberflächenladungen

**Hinweis:** für dia- und paramagnetische FK ist typischerweise  $\chi < 10^{-3}$

→ Lorentz-Feld  $H_L = \frac{\chi H_{\text{ext}}}{3} \ll H_{\text{ext}}$

→ Entmagnetisierungsfeld  $H_N = -N\chi H_{\text{ext}} \ll H_{\text{ext}}$

→ **Lorentz- und Entmagnetisierungsfeld können im Gegensatz zu dielektrischen FK meistens vernachlässigt werden**

# 12.1.5 Magnetostatische Selbstenergie

- Wie groß ist die Wechselwirkungsenergie eines magnetisierten FKs mit dem von ihm erzeugten Magnetfeld?

- einzelnes Moment in lokalem Feld:

$$E_\mu = -\boldsymbol{\mu} \cdot \mu_0 \mathbf{H}_{\text{lok}} = -\boldsymbol{\mu} \cdot \mu_0 (\mathbf{H}_N + \mathbf{H}_L)$$

- Integration über Volumen unter Benutzung von  $M = m/V$  und  $H_L = M/3$ :

$$E = -\frac{1}{2} \mu_0 \int_V \mathbf{H}_N \cdot \mathbf{M} dV - \frac{1}{6} \mu_0 \int_V M^2 dV$$

(Faktor 1/2 notwendig, da jedes Moment als Feldquelle und Moment eingeht)

- Definition der magnetostatischen Selbstenergie  $E_m$ :

$$E_M = E + \frac{1}{6} \mu_0 \int_V M^2 dV$$



$$E_M = -\frac{1}{2} \mu_0 \int_V \mathbf{H}_N \cdot \mathbf{M} dV = \frac{1}{2} \mu_0 \int_V \mathbf{M} \cdot \mathbf{N} \cdot \mathbf{M} dV$$

$$\mathbf{H}_N = -\mathbf{N} \cdot \mathbf{M}$$

- homogen magnetisierter Festkörper:

$$E_M = \frac{1}{2} \mu_0 \int_V \mathbf{M} \cdot \mathbf{N} \cdot \mathbf{M} dV = \frac{1}{2} \mu_0 V N M^2$$

$E_M$  ist minimal für kleinstes  $N$

→  $M$  richtet sich so aus, dass  $N$  minimal wird, z.B. parallel zu dünner Scheibe statt senkrecht dazu

→ magnetische Formanisotropie

- Aufgabe: Herstellen des Zusammenhangs zwischen makroskopischen Festkörpereigenschaften (ausgedrückt durch Suszeptibilität) und mikroskopischen Eigenschaften

– wir unterscheiden wie bei dielektrischen Festkörpern drei unterschiedliche Materialklassen

## I. diamagnetische Festkörper:

- keine magnetischen Momente in FK vorhanden
- Momente werden durch äußeres Feld induziert
- Lenzsche Regel: induzierte magnetische Momente sind ihrer Ursache entgegengesetzt
- **Suszeptibilität  $\chi_{\text{dia}}$  ist negativ**

### Größenordnung:

- (i) gebundene Elektronen:  $\chi_{\text{dia}} \sim -10^{-4}$  bis  $-10^{-6}$
- (ii) freie Leitungselektronen:  $\chi_{\text{Landau}} \sim -10^{-5}$ , Supraleiter:  $\chi_{\text{dia}} \sim -1$  (perfekter Diamagnetismus)

## II. paramagnetische Festkörper:

- magnetische Momente in FK bereits vorhanden
- Momente werden durch äußeres Feld ausgerichtet (entspricht Orientierungspolarisation bei dielektrischen FK)
- Momente werden parallel zu Feld ausgerichtet
- **Suszeptibilität  $\chi_{\text{para}}$  ist positiv**

# 12.2 Mikroskopische Theorie

## II. paramagnetische Festkörper:

### Größenordnung der vorhandenen magnetischen Momente:

(i) gebundene Elektronen: Bahn- und Spin-Moment der Elektronen (Langevin-Paramagnetismus)

$$\boldsymbol{\mu}_\ell = g_\ell \mu_B \frac{\boldsymbol{\ell}}{\hbar}, \quad \boldsymbol{\mu}_s = g_s \mu_B \frac{\mathbf{s}}{\hbar} \quad \text{mit } \langle \ell^2 \rangle = \ell(\ell + 1)\hbar^2 \quad \text{und } \langle s^2 \rangle = s(s + 1)\hbar^2$$

Gesamtbahndrehimpuls:  $\mathbf{L} = \sum_i \boldsymbol{\ell}_i$       Gesamtspin:  $\mathbf{S} = \sum_i \mathbf{s}_i$       Gesamtdrehimpuls:  $\mathbf{J} = \mathbf{L} + \mathbf{S}$

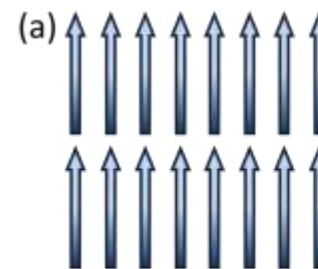
$$\boldsymbol{\mu}_J = g_J \mu_B \frac{\mathbf{J}}{\hbar} \quad g_J = \text{Landéscher } g\text{-Fakto} \quad \text{(Russel-Saunders-Kopplung)}$$

(ii) freie Leitungselektronen: Spin-Momente der Leitungselektronen (Pauli-Paramagnetismus)

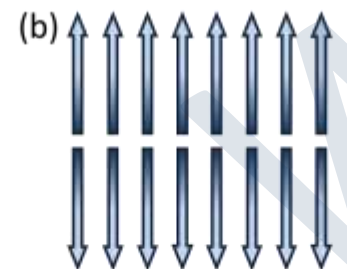
## III. ferromagnetische Festkörper:

- magnetische Momente in FK bereits vorhanden
- Momente wechselwirken untereinander  $\rightarrow$  spontaner Ordnungszustand mit spontaner Magnetisierung  $M$
- maßgebende WW ist Austauschwechselwirkung, Dipol-Dipol-WW spielt untergeordnete Rolle

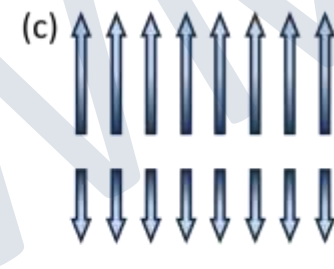
$\rightarrow$  **Suszeptibilität  $\chi_{\text{ferro}}$  ist sehr groß**



Ferromagnetismus



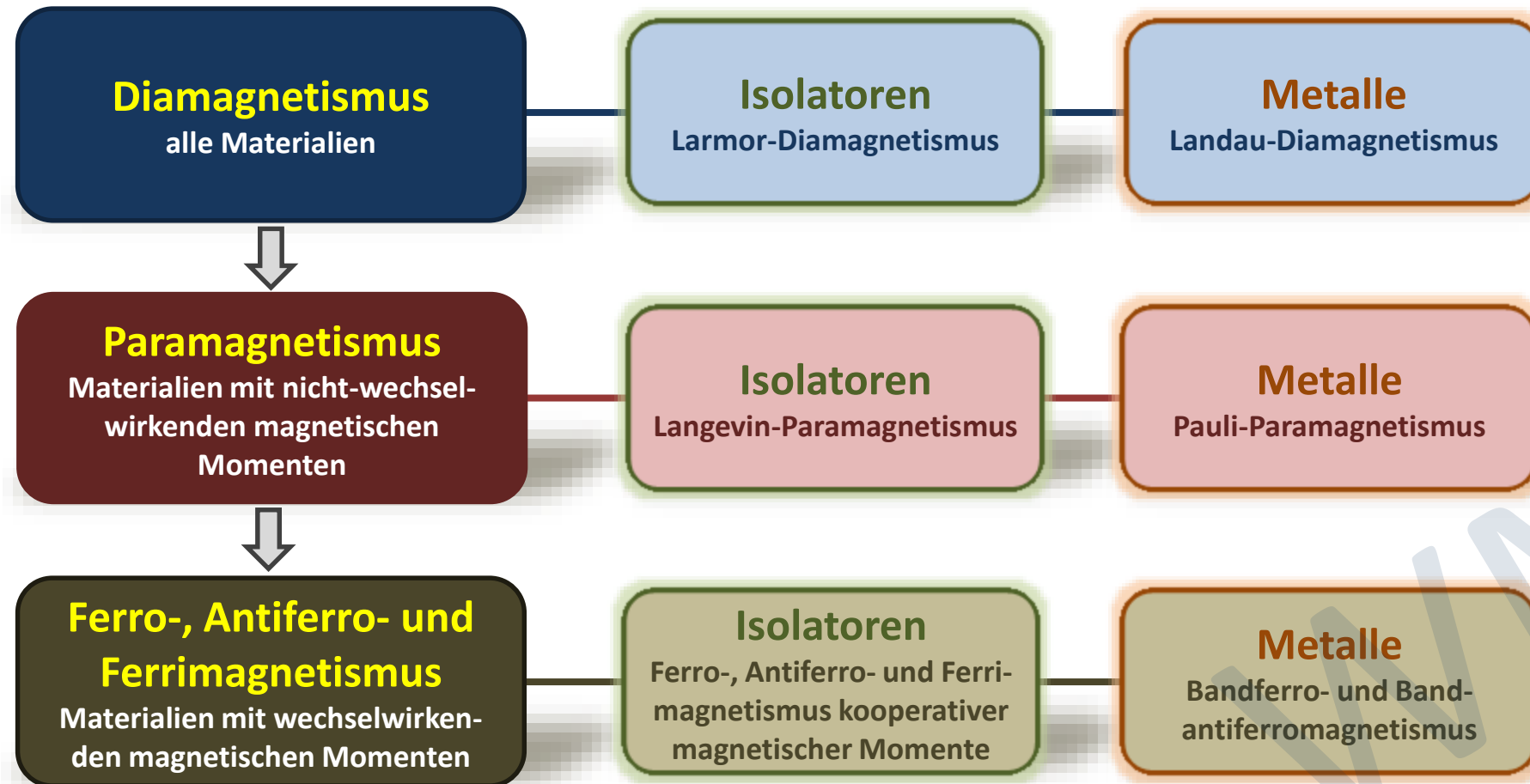
Antiferromagnetismus



Ferrimagnetismus

# 12.2 Mikroskopische Theorie

- Klassifizierung magnetischer Phänomene



- **Bohr-van Leeuwen Theorem:**  
magnetische Eigenschaften können nicht klassisch erklärt werden → Magnetismus = Quantenphänomen
- **Gegenüberstellung von magnetischen und elektrischen Größen:**

**Magnetisierung  $\mathbf{M} = \frac{\mathbf{m}}{V}$**

$$M_i(\mathbf{r}', t') = \sum_j \int \chi_{ij}(\mathbf{r}, t, \mathbf{r}', t') H_{\text{ext},j}(\mathbf{r}, t) d^3r dt$$

$$M_i(\mathbf{q}, \omega) = \sum_j \chi_{ij}(\mathbf{q}, \omega) H_{\text{ext},j}(\mathbf{q}, \omega)$$

**magnetisches Moment:**

$$\mathbf{m} = \sum_i \boldsymbol{\mu}_i = \sum_i \frac{q_i \hbar}{2m} \frac{\mathbf{r}_i \times \mathbf{p}_i}{\hbar} = \sum_i g_i \mu_B \frac{\mathbf{L}_i}{\hbar}$$

**magnetische Flussdichte:**

$$\mathbf{B}(\mathbf{r}, t) = \mu_0 \mathbf{H}_{\text{ext}}(\mathbf{r}, t) + \mu_0 \mathbf{M}(\mathbf{r}, t)$$

$$B_i(\mathbf{q}, \omega) = \mu_0 \sum_j \mu_{ij}(\mathbf{q}, \omega) H_{\text{ext},j}(\mathbf{q}, \omega)$$

**magnetische Permeabilität:**

$$\mu_{ij}(\mathbf{q}, \omega) = 1 + \chi_{ij}(\mathbf{q}, \omega)$$

*Bohrsches Magneton*

$$\mu_B = \frac{e\hbar}{2m}$$

**Polarisation  $\mathbf{P} = \frac{\mathbf{p}_{\text{el}}}{V}$**

$$P_i(\mathbf{r}', t') = \epsilon_0 \sum_j \int \chi_{ij}(\mathbf{r}, t, \mathbf{r}', t') E_{\text{ext},j}(\mathbf{r}, t) d^3r dt$$

$$P_i(\mathbf{q}, \omega) = \epsilon_0 \sum_j \chi_{ij}(\mathbf{q}, \omega) E_{\text{ext},j}(\mathbf{q}, \omega)$$

$$\mathbf{P} = \frac{\mathbf{p}_{\text{el}}}{V}$$

**elektrisches Moment:**

$$\mathbf{p}_{\text{el}} = \sum_i \mathbf{p}_{\text{el},i} = \sum_i q_i \mathbf{r}_i$$

**elektrische Flussdichte:**

$$\mathbf{D}(\mathbf{r}, t) = \epsilon_0 \mathbf{E}(\mathbf{r}, t) + \mathbf{P}(\mathbf{r}, t)$$

$$D_i(\mathbf{q}, \omega) = \epsilon_0 \sum_j \epsilon_{ij}(\mathbf{q}, \omega) E_j(\mathbf{q}, \omega)$$

**dielektrische Funktion:**

$$\epsilon_{ij}(\mathbf{q}, \omega) = 1 + \chi_{ij}(\mathbf{q}, \omega)$$



• *magnetisches Feld und magnetische Flussdichte:*

$$\begin{array}{lll} \text{H-Feld: } \nabla \times \mathbf{H} = \mathbf{J}_q & \mathbf{H} = \frac{\mathbf{B}}{\mu_0} - \mathbf{M} & \nabla \cdot \mathbf{H} = -\nabla \cdot \mathbf{M} \neq 0 \\ \text{B-Feld: } \nabla \times \mathbf{B} = \mu_0 \mathbf{J} = \mu_0 (\mathbf{J}_q + \mathbf{J}_M) & \mathbf{B} = \mu_0 (\mathbf{H} + \mathbf{M}) & \nabla \cdot \mathbf{B} = 0 \end{array}$$

• *lokales Magnetfeld:*

$$\mathbf{H}_{\text{lok}} = \mathbf{H}_{\text{mak}} + \mathbf{H}_L = \mathbf{H}_{\text{ext}} + \mathbf{H}_N + \mathbf{H}_L = \mathbf{H}_{\text{ext}} - N \mathbf{M} + \mathbf{M}/3$$

Lorentz-Feld  $H_L = M/3$  und Entmagnetisierungsfeld  $H_N = -NM$  sind für dia- und paramagnetische Materialien vernachlässigbar klein, da  $M = \chi H_{\text{ext}} \sim \pm(10^{-4} - 10^{-6})H_{\text{ext}}$

• *diamagnetische,*  
keine magn. Momente  
vorhanden:  $\chi_{\text{dia}} < 0$

*paramagnetische und*  
nicht-ww magn. Momente  
vorhanden:  $\chi_{\text{para}} > 0$

*ferromagnetische Materialien*  
ww magnetische  
Dipole vorhanden

• *Klassifizierung magnetischer Phänomene:*

